

1 & 2) $\vec{j}_Q = -\lambda \overrightarrow{\text{grad}} T$ On applique le premier principe à la tranche en régime stationnaire ($\frac{dU}{dt} = 0$)

$$\rightarrow \pi a^2 (j_Q(x) - j_Q(x + dx)) - 2\pi a dx h_r (T(x) - T_a) = 0 \rightarrow \frac{d^2 T}{dx^2} - \frac{2h_r}{\lambda a} (T(x) - T_a) = 0$$

3) Les unités respectives de λ et h_r sont $W.K^{-1}.m^{-1}$ et $W.K^{-1}.m^{-2}$ $\rightarrow [\delta] = L$ $\delta = 1,6 \text{ cm}$

4) $T(0) = T_d$ et $j_Q(b) = j_{cc}(b) \rightarrow -\lambda \left(\frac{dT}{dx}\right)_{x=b} = h(T(b) - T_a)$ Si $b \gg \delta$, alors $T(b) \sim T_a$

5) $T(x) - T_a = A \exp\left(\frac{x}{\delta}\right) + B \exp\left(-\frac{x}{\delta}\right)$ Avec $A + B = T_d - T_a$

Comme $b \gg \delta$ alors $A \sim 0$ et finalement $T(x) - T_a = (T_d - T_a) \exp\left(-\frac{x}{\delta}\right)$

Ceci est confirmé par les courbes correspondant à $b/\delta = 5$ ou 10 , on retrouve alors $T(b) \sim T_a$.

(Voir l'exercice A du TD Transferts thermiques pour une résolution plus précise)

6) Si $b \ll \delta$, on remarque que $T(x) \sim T_d$. Le phénomène conducto convectif prend le dessus et comme celui-ci est indépendant de la nature du solide : $\mathcal{P} \sim h_r \pi a^2 (T_d - T_a) \rightarrow R_{th} = \frac{1}{h_r \pi a^2} \sim 10^3 \text{ K.W}^{-1}$

7) $\mathcal{P} = -\pi a^2 \lambda \left(\frac{dT}{dx}\right)_{x=0} = \frac{\pi a^2 \lambda}{\delta} (T_d - T_a) \rightarrow R_{th} = \frac{\delta}{\pi a^2 \lambda} \sim 34 \text{ K.W}^{-1}$

8) L'aluminium est **meilleur conducteur**, pour un **encombrement moindre** ($b = \delta = 2 \text{ cm}$) on atteint la même valeur de résistance thermique ($R_{th} \sim 34 \text{ K.W}^{-1}$). Les ailettes sont montées en parallèle donc

$\mathcal{P}_{totale} = (T_d - T_a) \frac{N}{R_{th}} \rightarrow N_{min} = R_{th} \mathcal{P}_{totale} / (T_{d,max} - T_a) \sim 200$ Valeur assez conséquente

9) $e = Q/W \rightarrow W_{jour} = 33 \text{ kW.h} \rightarrow W_{an} = 12.10^3 \text{ kW.h}$ Le coût s'élève à **deux mille euros**

10) $\rho_{air} = \frac{PM_{air}}{RT_{max}} = 1,1 \text{ kg.m}^{-3} \rightarrow D_m = \rho_{air} D_v = 0,26 \text{ kg.s}^{-1}$

11) La puissance thermique \mathcal{P}_{th} dégagée par les serveurs vaut environ 4 kW . Si cette même puissance est évacuée par le système de free-cooling, on obtient grâce au premier principe appliqué à l'air en écoulement stationnaire : $D_m c_p \Delta T = \mathcal{P}_{th} \rightarrow \Delta T = 15 \text{ K}$

Si la température extérieure est supérieure à 20°C , le système ne permet pas de maintenir la température de la salle à une température inférieure ou égale à T_{max} . A quelques jours près, le système de free-cooling est fonctionnel 75 % du temps (toutes les nuits et la journée de novembre à avril).

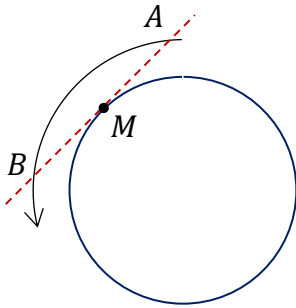
Le coût s'élève à présent à $0,25 * 2.10^3 + 0,75 * 24 * 365 * 60.10^{-3} * 0,17 \sim$ **six cents euros** environ

12) D'après la **loi des aires** ($r^2 \dot{\theta} = cste$) si la trajectoire est circulaire, le mouvement est alors uniforme. On aurait pu aussi exploiter la deuxième loi de Newton projetée sur \vec{u}_θ : $m_S r \ddot{\theta} = 0 \rightarrow \dot{\theta} = cste$

13 & 14) La projection de la deuxième loi de Newton sur \vec{u}_r nous indique que $-m_S \frac{v_0^2}{R_T + h} = -\frac{G m_S M_T}{(R_T + h)^2}$

$$\rightarrow v_0 = \sqrt{\frac{G M_T}{R_T + h}} = 7,52 \text{ km.s}^{-1} \rightarrow T_0 = \frac{2\pi}{\omega_0} = \frac{2\pi(R_T + h)}{v_0} = 2\pi \sqrt{\frac{(R_T + h)^3}{G M_T}} = 5,89.10^3 \text{ s}$$

15) La télécommunication directe avec le sol est possible le temps, pour la station, d'aller du point A au point B . On néglige les effets dus à l'atmosphère (déviation, ralentissement ...) ainsi que le déplacement dans le référentiel géocentrique du point M lié à la terre ($v(M)_{max} < v(ISS)/16$).



Pour aller de A à B , la station parcourt l'angle $\beta = 2 \arccos\left(\frac{R_T}{R_T+h}\right)$,

ce qui correspond à une durée τ égale à $\frac{\beta}{2\pi} T_{ISS} = 2 \sqrt{\frac{(R_T+h)^3}{GM_T}} \arccos\left(\frac{R_T}{R_T+h}\right)$

$\tau = 6,1 \cdot 10^2 \text{ s}$ On est plus proche de 10 minutes que d'une minute.

Ce n'est pas surprenant : En A et B , les ondes doivent traverser une épaisse couche d'atmosphère, la communication avec M n'est alors pas bonne.

De plus, il n'y a pas forcément une station de réception dans le plan de l'orbite !

La durée de la communication directe est la plupart du temps réduite.

16) Les équations de Maxwell sont composées de deux équations de liaisons aux sources (1) & (2) et de deux équations intrinsèques de structure (3) & (4) :

$$\text{div } \vec{E} = \frac{\rho}{\epsilon_0} = 0 \quad (1) \quad \text{rot } \vec{B} = \mu_0 \vec{j}(M, t) + \frac{1}{c^2} \frac{\partial \vec{E}}{\partial t} = \frac{1}{c^2} \frac{\partial \vec{E}}{\partial t} \quad (2) \quad \text{div } \vec{B} = 0 \quad (3) \quad \text{rot } \vec{E} = -\frac{\partial \vec{B}}{\partial t} \quad (4)$$

$$\text{rot } \text{rot } \vec{E} = -\Delta \vec{E} \rightarrow \Delta \vec{E} - \frac{1}{c^2} \frac{\partial^2 \vec{E}}{\partial t^2} = \vec{0} \rightarrow \frac{\partial^2 \vec{E}}{\partial x^2} - \frac{1}{c^2} \frac{\partial^2 \vec{E}}{\partial t^2} = \vec{0}$$

17) On injecte \vec{E} dans l'équation d'onde et l'on obtient $\frac{\omega}{k} = c = \text{cste} \rightarrow$ Le milieu est **non dispersif**

18) D'après la relation du trièdre $\vec{B}(M, t) = \frac{\vec{u}_x \wedge \vec{E}}{c} = \frac{E_0}{c} \exp(i(\omega t - kx)) \vec{u}_z$

$$19) \quad \|\vec{F}_e\| = qE \quad \|\vec{F}_m\| \leq qvB \quad \frac{\|\vec{F}_m\|}{\|\vec{F}_e\|} \leq \frac{vB}{E} \sim \frac{v}{c} \ll 1$$

20) D'après la deuxième loi de Newton, $\vec{v}_e = i \frac{e\vec{E}}{m_e\omega}$ et $\vec{v}_c = -i \frac{e\vec{E}}{m_c\omega} \rightarrow \|\vec{v}_e\| \gg \|\vec{v}_c\|$

21) Les électrons se déplacent à une vitesse non négligeable, ainsi $\vec{j}(M, t) = \rho_e \vec{v}_e = -n_e e \vec{v}_e = -i \frac{n_e e^2 \vec{E}}{m_e \omega}$

22) $p = \frac{1}{2} \text{Re}(\vec{j} \cdot \vec{E}^*) = 0$ La **quadrature** entre \vec{j} et \vec{E} (\vec{v}_e et \vec{F}_e) est à l'origine de cette puissance nulle.

$$23 \& 24) \quad \text{rot } \text{rot } \vec{E} = -\Delta \vec{E} \rightarrow \frac{\partial^2 \vec{E}}{\partial x^2} - \mu_0 \gamma \frac{\partial \vec{E}}{\partial t} - \frac{1}{c^2} \frac{\partial^2 \vec{E}}{\partial t^2} = \vec{0} \quad \underline{k}^2 = \frac{\omega^2 - \omega_p^2}{c^2} \quad \text{Avec } \omega_p = e \sqrt{\frac{n_e}{m_e \epsilon_0}}$$

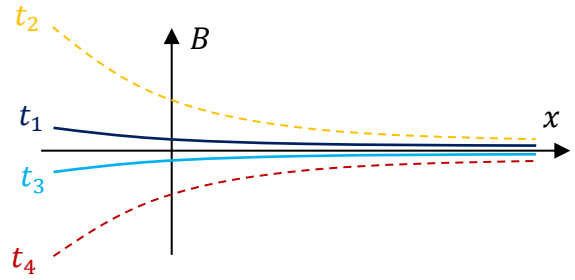
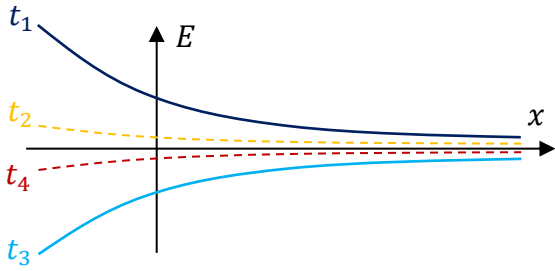
$$25) \quad \underline{k} = -\frac{i}{\delta_p} \quad \text{Avec } \delta_p = \frac{c}{\sqrt{\omega_p^2 - \omega^2}} \quad \text{On en déduit } \vec{E} = E_0 \exp\left(-\frac{x}{\delta_p}\right) \cos(\omega t) \vec{u}_y$$

Concernant \vec{B} , soit on utilise la relation du trièdre **complexe** :

$$\vec{B}(M, t) = \frac{\vec{k} \wedge \vec{E}}{\omega} = \frac{kE_0}{\omega} \exp(i(\omega t - kx)) \vec{u}_z \rightarrow \vec{B} = \frac{E_0}{\delta_p \omega} \exp\left(-\frac{x}{\delta_p}\right) \sin(\omega t) \vec{u}_z$$

Soit on applique l'équation de Maxwell-Faraday : $\frac{\partial \vec{B}}{\partial t} = -\text{rot } \vec{E} = \frac{E_0}{\delta_p} \exp\left(-\frac{x}{\delta_p}\right) \cos(\omega t) \vec{u}_z \rightarrow \dots$

26) Les champs \vec{E} et \vec{B} oscillent en quadrature mais ne se propagent pas. Ce sont des ondes évanescentes.

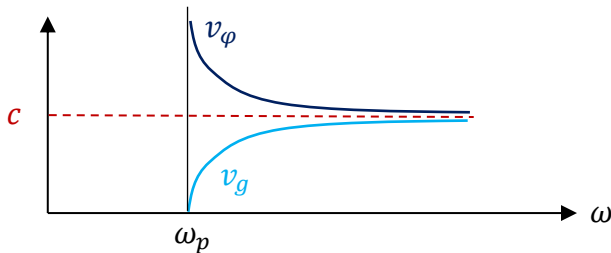


27) La valeur moyenne du vecteur de Poynting $\left(\frac{\vec{E} \wedge \vec{B}}{\mu_0}\right)$ est **nulle**. L'énergie ne se propage pas, on retrouve ainsi le caractère **stationnaire** de l'onde.

28 & 29) $\underline{k} = \frac{\sqrt{\omega^2 - \omega_p^2}}{c} = k'$ On en déduit $\vec{E} = E_0 \cos(\omega t - k'x) \vec{u}_y$ et $\vec{B} = \frac{k'E_0}{\omega} \cos(\omega t - k'x) \vec{u}_z$

$$\langle \vec{\Pi} \rangle = \frac{k'E_0^2}{2\mu_0\omega} \vec{u}_x = \frac{E_0^2}{2\mu_0c} \sqrt{1 - \omega_p^2/\omega^2} \vec{u}_x \quad v_\phi = \frac{\omega}{k'} = \frac{c}{\sqrt{1 - \omega_p^2/\omega^2}} > c \quad v_g = \frac{d\omega}{dk'} = \frac{c^2}{v_\phi} = c \sqrt{1 - \omega_p^2/\omega^2} < c$$

Le fait que $v_\phi > c$ ne remet pas en cause la théorie relativiste car la phase n'a aucune matérialité.



Le milieu est **dispersif** puisque $v_\phi \neq v_g$, ces deux vitesses dépendent de la fréquence.

Le caractère dispersif tend à disparaître à très haute fréquence.

30) La fréquence plasma dans l'ionosphère vaut au maximum quelques **dizaines de MHz**. La gamme **THF** ($30 \text{ MHz} \leq f \leq 300 \text{ MHz}$) est tout à fait adaptée aux télécommunications avec un relai géostationnaire.

31 & 32) Le lithium est un **alcalin** dont la configuration électronique est $1s^2 2s^1$. C'est un bon réducteur car il perd facilement son électron 2s pour atteindre ainsi la configuration électronique de l'hélium : Li^+

33 & 34) $Li_2CO_3 \rightleftharpoons 2 Li^+ + CO_3^{2-}$ $K_s = 4s^3$ (On néglige les propriétés basiques de l'ion carbonate)

On intègre la loi de Van 't Hoff : $\ln K_s(T_2) = \ln K_s(T_1) - \frac{\Delta_r H^0}{R} \left(\frac{1}{T_2} - \frac{1}{T_1}\right) \rightarrow \Delta_r H^0 = -20 \text{ kJ} \cdot \text{mol}^{-1}$

La réaction de dissolution est légèrement **exothermique**, elle est favorisée à basse température.

35) $Li^+ + e^- \rightleftharpoons Li$ $Li + C_6 \rightarrow LiC_6$ $Li^+ + e^- + C_6 \rightleftharpoons LiC_6$

36) $N_{max}(Li) = \frac{N_{AmC}}{6M_C} = 8,4 \cdot 10^{21}$ $Q_{max} = 1,3 \cdot 10^6 C = 3,7 \cdot 10^2 \text{ A} \cdot \text{h} \cdot \text{kg}^{-1}$ (de graphite)

37) Le *n. o.* du cobalt dans $LiCoO_2$ est **III** alors qu'il vaut **IV** dans CoO_2 , ce dernier est l'oxydant. Durant la charge, $LiCoO_2$ est oxydé : $LiCoO_2 \rightleftharpoons CoO_2 + e^- + Li^+$

38) Charge : $LiCoO_2 + C_6 \rightarrow CoO_2 + LiC_6$ Décharge : $CoO_2 + LiC_6 \rightarrow LiCoO_2 + C_6$

39) La charge désirée vaut 5,8 A.h donc la masse minimale de graphite nécessaire est **16 g**.